### 混凝 —微滤工艺处理含氟地下水的试验研究

张玲玲, 李晓波, 顾平 (天津大学 环境科学与工程学院, 天津 300072)

摘 要: 采用混凝 —微滤工艺进行了地下水除氟的试验研究。静态试验表明了硫酸铝的混凝除氟效果比聚合硫酸铝的更佳。动态试验中发现,在改善饮用水水质及降低运行成本方面,采用  $CO_2$  降低反应体系的 pH比采用  $H_2$   $SO_4$  更具有优越性。当原水 F 浓度为 2 74 mg/L、硫酸铝投加量为 154 mg/L、混凝反应器内  $CO_2$  的溶入量为 183. 2 mg/L时,出水 F 浓度为 0. 98 mg/L、浊度 < 0. 10 NTU、 $UV_{254}$ 为 0. 012  $cm^{-1}$ 、A  $I^{3+}$  < 0. 02 mg/L、 $SO_4^{2-}$  浓度为 125. 77 mg/L、pH 值为 7. 51,出水水质满足《生活饮用水卫生标准》(CB 5749—2006)的要求。

关键词: 地下水; 除氟; 混凝; 微滤

中图分类号: TU991 文献标识码: C 文章编号: 1000 - 4602 (2007) 17 - 0050 - 05

# Study on Coagulation /M icrofiltration Process for Defluoridation of Underground Water

ZHANG Ling-ling, LIXiao-bo, GU Ping

(School of Environment Science and Technology, Tianjin University, Tianjin 300072, China)

**Abstract:** Coagulation/microfiltration process was applied to remove fluoride from underground water A luminum sulfate was chosen as coagulant in static experiment. It is found in dynamic experiment that  $CO_2$  is more effective than  $H_2$   $SO_4$  for reducing pH. When the concentration of fluoride in raw water, aluminum sulfate dosage and  $CO_2$  dissolved quantity in coagulation reactor are 2.74 mg/L, 154 mg/L and 183. 2 mg/L, the concentration of fluoride in the treated water is reduced to 0.98 mg/L, the turbidity is less than 0.10 NTU,  $UV_{254}$  is 0.012 cm<sup>-1</sup>, the concentration of A  $\mathring{I}^+$  is less than 0.02 mg/L, the concentration of  $SO_4^2$  is 125. 77 mg/L and pH value is 7.51. The treated water quality can meet the requirement of S tandards for D rinking W ater Quality (GB 5749 - 2006).

Key words: underground water, defluoridation; coagulation; microfiltration

氟是人体不可缺少的微量元素之一,饮用水中含有适量的氟对人体有益,但是长期过量饮用含氟水,会导致氟斑牙、氟骨症等疾病,严重者会引起氟中毒<sup>[1]</sup>。氟中毒病是我国以地下水为饮用水的农村地区较为常见的一种疾病。传统的饮用水除氟方法有吸附法、混凝沉淀法、反渗透法和电渗析法等<sup>[2~4]</sup>。笔者采用混凝一微滤法处理含氟地下水,

考察了该工艺的处理效果。

- 1 试验部分
- 1.1 烧杯混凝试验

分别选取聚合硫酸铝 (PAS)和硫酸铝 (AS)为混凝剂,进行静态烧杯试验以确定动态试验的最佳混凝剂及其投量。向水样中投加混凝剂,先以 300 r/m in的速度快速搅拌 30 s,再以 60 r/m in的速度慢

基金项目: 天津市科技发展计划项目 (06YFGZSH02600)

速搅拌 20 min,取上清液经  $0.22 \text{ } \mu\text{m}$ 的微滤膜过滤后测定  $F^{T}$ 浓度。

试验所用 PAS为固态, Al<sub>2</sub>O<sub>3</sub> 含量 17%; AS 为固态,分析纯。以 H<sub>2</sub> SO<sub>4</sub> 调节原水 pH值,所用 H<sub>2</sub> SO<sub>4</sub> 为分析纯,浓度为 98%。

#### 1.2 动态试验

试验装置如图 1所示。

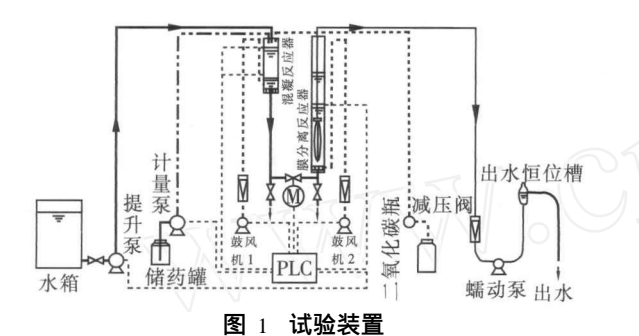


Fig 1 Schematic diagram of experimental equipment 膜组件采用聚乙烯中空纤维微滤膜 .膜孔径为

0.22 μm,膜面积为 0.5 m²。整个试验装置由可编程序逻辑控制器 (PLC)控制,原水和混凝剂由提升泵和计量泵加入到混凝反应器中,混凝反应后出水依靠重力流入膜分离反应器,混合液在蠕动泵的抽吸下经膜过滤后形成系统出水。当进行以 CO₂ 降低 pH值的试验时, CO₂ 气体经减压阀后进入混凝反应器。在膜组件出水端一侧设有 U型测压管,以监测膜分离反应器内跨膜压力的变化。混凝反应器、膜分离反应器的曝气和向混凝反应器内充入CO₂ (需要时)均是连续的。出水采用间歇方式,即出水为 8 min,闲置为 2 min。混凝反应器的水力停留时间为 15 min,气水比为 5 1;膜分离反应器的水力停留时间为 30 min,气水比为 15 1。整个装置的处理能力为 12 L/h。

#### 1.3 原水水质

试验原水取自天津市静海县朱家村,试验期间的水质见表 1。

#### 表 1 原水水质

Tab 1 Characteristics of raw water

项目	pН	$\operatorname{Ca}^{2^+}/(\operatorname{mg} \cdot \operatorname{L}^{-1})$	$Mg^{2+}/$ $(mg \cdot L^{-1})$	F / (mg · L - 1)	Cl / (mg · L - 1)	$SO_4^{2-}$ / $(mg \cdot L^{-1})$	$HCO_3^- / (mg \cdot L^{-1})$	浊度 / NTU	UV <sub>254</sub> / cm - 1
最小值	8. 59			2 28	188. 00	8. 96		2 10	0. 037
最大值	8. 73			2 74	243. 00	11. 59		6. 10	0. 043
平均值	8. 66	8. 07	6. 77	2. 48	221. 50	10. 24	473. 0	2 29	0. 040

#### 1.4 测定方法

F 采用离子选择电极法测定,电极为 PY - 101型;浊度采用 HACH - 2100P光电浊度仪测定;  $UV_{254}$ 采用 YU - 1800紫外 何见分光光度计测定;  $SO_4^2$ 采用离子色谱法测定,型号为 DX - 600; A $1^3$ +采用电感耦合等离子发射光谱 (1CP - 1CP - 1C

#### 2 结果与讨论

#### 2.1 静态试验结果与分析

#### 2.1.1 AS投加量与 pH值对除氟效果的影响

不同原水初始 pH 值条件下 AS 投加量与出水 F 浓度的关系如图 2 所示。

由图 2可知,出水 F 浓度随 AS投量的增加而减小;原水初始 pH值越低,使出水 F <1.0 mg/L 所需的 AS投加量越少。有研究表明,在 pH值为5.8~7.0的微酸性条件下铝盐混凝剂的除氟效果最佳<sup>[5]</sup>。由于原水中 HCO、浓度较高,造成降低进

#### 水 pH值所需的 H<sub>2</sub> SO<sub>4</sub> 投加量较大。

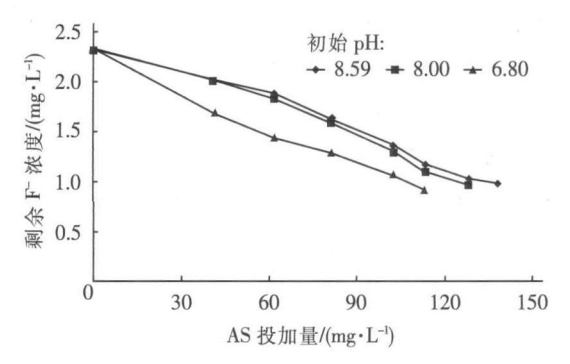


图 2 AS 投加量对出水 F 浓度的影响

Fig 2 Effect of aluminum sulfate dose on F concentration in treated water

## 2.1.2 PAS投加量与 pH值对除氟效果的影响 以 PAS为混凝剂时的除氟效果如图 3所示。

从图 3可以看出,在不同原水初始 pH值下,出水中剩余 F 浓度均随 PAS投量的增加而减小。图 4为不同初始 pH值条件下,使出水 F 浓度 <1.0 mg L 时所需的 PAS投加量。

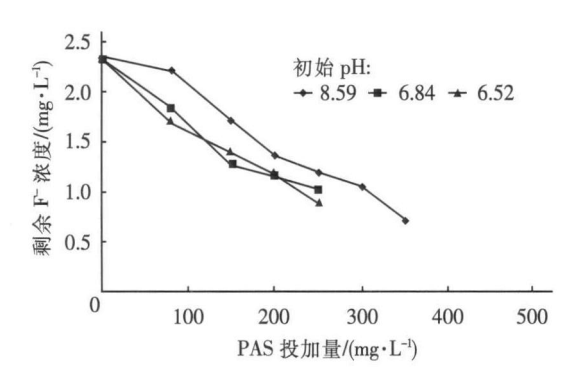


图 3 PAS 投加量对出水 F 浓度的影响

Effect of PAS dose on F concentration in

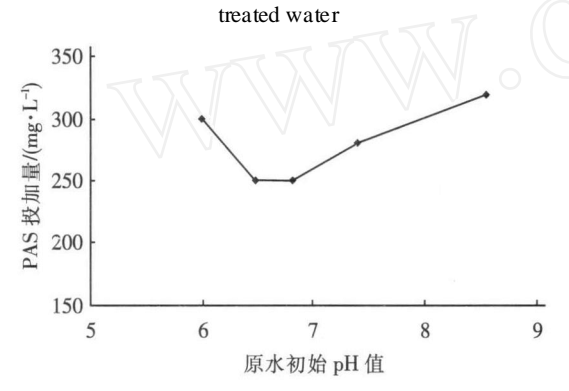


图 4 原水初始 pH值与 PAS 投加量的关系

Fig 4 Relationship between initial pH value of raw water and PAS dose

由图 4可知, PAS除氟存在最佳的 pH值范围, 当原水初始 pH值为 6.5~6.8时,使出水 F < 1.0 mg/L时所需要的 PAS投量最低。由于试验原水中 的 HCO<sub>3</sub> 浓度较高,使原水 pH 值偏高,高浓度 HCO<sub>3</sub> 的强缓冲能力也使得 H<sub>2</sub>SO<sub>4</sub> 的投量较大。

比较图 2、3可以发现,在相同的操作条件下,使 出水 F < 1.0 mg/L 所需的 PAS投加量大于 AS的 投加量,这可以从除氟机理方面分析原因。 PAS与 AS的除氟机理均为 A1(OH)3 对 F 的吸附作用,其 中 PAS中的 AI是以 Ala聚羟阳离子形态存在的,较 为稳定<sup>[6]</sup> .它在除 F 的过程中会水解成单体 A1(OH)<sub>3</sub>形式,与 AS的直接水解相比,其过程较为 缓慢,从而影响了对 F 的去除效果。

综合比较 PAS和 AS的价格及除氟效果,确定 动态试验的混凝剂为 AS, 当原水 F 浓度为 2 38 mg/L、混凝反应在原水 pH值条件下进行时,混凝剂 的投加量为 139 mg/L,在此反应条件下,静态试验 出水的 F 浓度为 0.96 mg/L,混凝后上清液的 pH 值为 7.24。

#### 2.2 动态试验结果与分析

#### 2.2.1 出水 F 浓度的变化

在 AS投加量为 139 mg/L的条件下,通过动态 试验考察了混凝 -微滤法的除氟效果。结果表明, 在试验初期,出水 F 浓度较高,均大于 1.0 mg/L。 与静态试验结果相比,动态试验中组合工艺对 F 的 去除效果较差,经分析其原因在于动态试验中膜分 离反应器内连续曝气不断吹脱出 CO2,从而使 HCO。的溶解平衡受到破坏,H<sup>+</sup>和 HCO。不断消 耗,使反应器内 pH值升高[7],从而影响了除氟效 果。因此,在后续的试验中,向混凝反应器中投加了 H<sub>2</sub>SO<sub>4</sub>,以降低混合液的 pH值,提高除氟效果。试 验结果见表 2。

表 2 H<sub>2</sub>SO<sub>4</sub> 投加量与出水 F 浓度的关系

Tab 2 Relatinship between H<sub>2</sub> SO<sub>4</sub> dose and F

H <sub>2</sub> SO <sub>4</sub> 投加量 / (mg·L <sup>-1</sup> )				
0	7. 34	256	8. 17	1. 40
92 0	7. 18	39	7. 90	1. 36
123. 3	7. 08	31	7. 78	1. 18
145. 0	6. 53	258	7. 30	1. 06
152. 7	6. 43	130	7. 10	0. 96

从表 2可以看出,随着 H<sub>2</sub>SO<sub>4</sub>投量的增加,混 凝反应器内混合液及整个工艺出水的 pH值均不断 降低,同时出水 F 浓度不断减小,当 H<sub>2</sub>SO<sub>4</sub>投量为 152. 7 mg/L时,出水 F 浓度为 0. 96 mg/L。

#### 2.2.2 充入 CO。后出水 F 浓度的变化

投加 H<sub>2</sub>SO<sub>4</sub> 降低混合液的 pH 值可以使出水 F 浓度满足小于 1.0 mg/L 的标准要求,但同时会 造成出水  $SO_4^2$  浓度的增加。本试验出水中  $SO_4^2$ 浓度的增加量由 AS和 H<sub>2</sub>SO<sub>4</sub>中的 SO<sub>4</sub> 提供.当 AS和 H<sub>2</sub>SO<sub>4</sub>的投加量分别 139和 152.7 mg/L时, 出水 SO<sup>2</sup> 浓度的均值达到了 246.78 mg/L,尽管小 于《生活饮用水卫生标准》(GB 5749—2006)所规定 的 250 mg/L,但其浓度较高会使水带有苦涩感。为 提高出水水质,结合试验原水水质特点,向混凝反应 器中充入 CO2以降低 pH值,充入 CO2后出水 F浓 度的变化情况见表 3。此阶段原水的 F 浓度为 2 74 mg/L,相应地调整 AS投加量为 154 mg/L。

表 3表明,向混凝反应器中充入 002 可以降低 反应体系的 pH值,从而有利于 AS与 F 的混凝反

· 52 ·

应,降低出水的 F 浓度。

#### 表 3 002 溶入量与出水 F 浓度的关系

Tab 3 Relationship between dissolved CO<sub>2</sub> and F concentration in treated water

混凝反应器 CO <sub>2</sub> 溶入量 / (mg·L <sup>-1</sup> )	混凝反应 器中混合 液 pH值		膜反应器 出水 pH值	出水 F <sup>-</sup> 浓度 / (mg·L <sup>-1</sup> )
76. 4	6. 95	80	7. 74	1. 12
118 3	6. 76	132	7. 65	1. 04
183. 2	6. 57	478	7. 51	0. 98
481. 9	6. 15	167. 2	6. 99	0. 89

注:  $CO_2$  溶入量根据实测的 pH值按公式  $CO_2$  +  $H_2O$   $H^+$  +  $HCO_3$  计算  $H^-$  +  $HCO_3$  计算  $H^-$  +  $HCO_3$  计算  $H^-$  +  $HCO_3$  计算  $H^-$  +  $HCO_3$  计算  $HCO_3$   $HCO_3$  HC

当采用充入  $CO_2$  的方法降低反应体系的 pH值时,出水  $SO_4^2$  浓度平均为 125. 77 mg/L,远小于采用  $H_2$   $SO_4$  调节 pH值时的出水  $SO_4^2$  浓度,这大大改善了饮用水的口感。另外,与投加  $H_2$   $SO_4$  相比,采用  $CO_2$  调节反应体系的 pH值,操作更为简便、安全,价格也更加便宜。

#### 2.2.3 出水浊度的变化

在充入  $CO_2$  降低反应体系 pH值的除氟试验中,监测了出水浊度的变化。结果表明,反应器处理  $1.0\,\mathrm{m}^3$  原水的出水浊度最小值为  $0.05\,\mathrm{NTU}$ ,最大值 为  $0.10\,\mathrm{NTU}$ ,平均为  $0.08\,\mathrm{NTU}$ 。低出水浊度值说明微滤膜在截留原水中颗粒杂质的同时,对混凝反应所形成的  $A1(\mathrm{OH})_3$  絮体也起到了很好的截留作用。出水中的  $A1^2 < 0.02\,\mathrm{mg/L}$ ,远小于《生活饮用水卫生标准》( $CB_5749$ —2006)规定的  $0.2\,\mathrm{mg/L}$ 。出水中的  $A1^2$  含量是铝盐混凝剂在地下水除氟工艺中能否应用的限制条件之一,微滤膜对  $A1(\mathrm{OH})_3$  絮体有很好的截留作用,可保证采用 AS作为混凝剂时出水  $A1^2$  浓度满足标准要求。

#### 2.2.4 出水 UV<sub>254</sub>的变化

试验中以 UV<sub>254</sub>表征水中有机物的含量<sup>[8]</sup>。结果表明,经混凝一微滤工艺处理后,水中的 UV<sub>254</sub>平均值由原水的 0. 040 cm <sup>-1</sup>降低为 0. 012 cm <sup>-1</sup>,系统对 UV<sub>254</sub>的去除率为 70%。出水 UV<sub>254</sub>值明显降低说明了混凝—微滤工艺对原水中的有机物亦有去除作用,这对于改善饮用水的水质具有积极意义。

#### 2.2.5 膜比通量的变化

膜污染是膜反应器运行过程中不可避免的问题,本试验以膜比通量的变化表征膜过滤过程中膜

阻力的变化。试验中,控制膜通量为固定值,随着膜反应器运行时间的延长,膜污染阻力和泥饼层阻力不断增加,导致膜两侧的压差不断加大,表现为膜比通量的不断降低。膜比通量随处理水量的变化如图5所示。

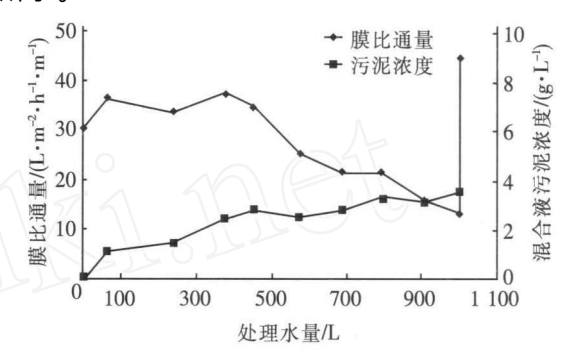


图 5 膜比通量及混合液污泥浓度的变化

Fig 5 Changes of membrane specific flux and mixed liquor sludge concentration

由图 5可知,在试验初期,膜比通量值较初始膜比通量值略有增加,其原因是反应器运行初期尚未形成泥饼层,膜污染微弱,同时新膜经过一定时间的浸泡,膜孔变大,从而导致了膜比通量值有所上升。之后,随着试验的进行,膜表面污染物不断累积,泥饼层不断加厚,使膜污染阻力和泥饼层阻力相应加大,从而造成了膜比通量的不断下降。

试验期间未进行排泥,反应器中混合液污泥浓 度随着处理水量的增加而不断增加,当处理水量为 1002 2 L时,反应器内的污泥浓度达到 3.571 g/L, 膜比通量降为 13.6 L/(m²·h·m),此时膜最大出 水流量已低于系统的工作流量,为此排掉了反应器 内的污泥,用自来水对膜进行了曝气清洗,曝气强度 为 0. 25 m³/h,清洗时间为 20 min,清洗后的膜比通 量值恢复为 45.1 L/(m²·h·m),高于初始膜比通 量值。经分析其原因可能为: 试验原水为地下水, 水中有机物含量低,主要成分为无机离子,且动态试 验运行时间较短,累计处理水量约为 1000 L,膜表 面和膜孔内部尚未形成严重的不可逆污染; 反应 器运行过程中发现膜表面粘附有大量的乳白色污 泥,估计膜比通量的下降是由于铝盐絮体堵塞了膜 孔外表面而造成的 ,曝气可以使污泥脱落 ,从而恢复 了膜比通量; 新膜在使用前只浸泡了 24 h,浸泡时 间较短,膜孔未全部张开,致使初始膜比通量值较 低,尽管反应器运行初期膜比通量有所上升,但不断 形成的泥饼层使上升值较小,而到运行结束为止长 时间的浸泡使膜孔充分张开。上述三种因素的共同 作用使得膜比通量值在清洗后较初始值有所升高。 3 结论

混凝 —微滤工艺对地下水中氟离子的去除 效果与反应体系的 pH 值有关,通过比较投加 H<sub>2</sub>SO<sub>4</sub>和充入CO<sub>2</sub>两种降低pH值的方法,确定向 混凝反应器中充入 00% 对于改善出水水质、降低运 行成本更为有利。

当原水 F 浓度为 2.74 mg/L、AS投加量 为 154 mg/L、混凝反应器内 CO<sub>2</sub> 的溶入量为 183. 2 mg/L时,混凝反应器中混合液 pH值降低为 6.57, 出水 F 浓度为 0.98 mg/L、浊度 < 0.10 NTU、UV<sub>254</sub> 为 0. 012 cm<sup>-1</sup>、A i<sup>3+</sup> < 0. 02 mg/L、SO<sub>4</sub><sup>2-</sup> 浓度为 125. 77 mg/L、pH值为 7. 51,出水水质满足《生活饮 用水卫生标准》(GB 5749—2006)的要求。

膜污染物质主要为可逆的无机污染物,曝 气清洗可以清洗掉膜表面的泥饼层,恢复膜比通量。

#### 参考文献:

[1] 王滨滨,郑宝山,王鸿颖,等, 我国部分城市和地区居 民龋齿与饮用水氟含量的关系研究 [J]. 地球与环境, 2004, 32 (3 - 4): 72 - 76

- [2] Ghorai S, Pant K K Equilibrium, kinetics and breakthrough studies for adsorption of fluoride on activated alumina[J]. Sep Purif Technol, 2005, 42(3): 265 - 271.
- [3] Hu C Y, Lo S L, Kuan W H. Effects of co-existing anions on fluoride removal in electrocoagulation (EC) process using alum inum electrodes[J]. Water Res, 2003, 37 (18): 4513 - 4523.
- [4] Arora M, Maheshwari R C, Jain S K, et al Use of membrane technology for potable water production [J]. Desalination, 2004, 170(2): 105 - 112
- [5] 吴奇藩,孔庆安. 半导体厂含氟废水的深度处理 [J]. 环境工程,1994,12(6):69-72
- [6] Kazpard V, Lartiges B S, Frochot C, et al Fate of coagulant species and conformational effects during aggregation of a model of a humic substance with Al<sub>13</sub> polycations [J]. Water Res, 2006, 40 (10): 1965 - 1974.
- [7] 王凯雄. 水化学 [M]. 北京:化学工业出版社,2001.
- [8] Teixeira M R, Rosa M J. pH adjustment for seasonal control of UF fouling by natural waters [J]. Desalination, 2002, 151 (2): 165 - 175.

E - mail: zll65211@163. com 收稿日期: 2007 - 04 - 01

#### (上接第 49页)

系统具有较强的抗冲击负荷能力,进水流 量对处理效果的影响不大,这主要依赖干高浓度生 物硅藻土上附着的大量微生物对污染物的吸附降解 能力。

当进水流量为 4 L/h时,由于水力停留时 间相对较长,硝化和反硝化反应能充分进行,故回流 比和溶解氧的变化对处理效果的影响都较小。在进 水流量为 9 L/h, 回流比为 100%的条件下, 系统对 氨氮和总氮的去除率明显下降:在好氧段溶解氧 < 2 0 mg/L的条件下,系统对总氮及氨氮的去除率出 现大幅度下降。

#### 参考文献:

- [1] 郑水林,王庆中. 改性硅藻精土在污水处理中的应用 []]. 非金属矿, 2000, 23(4): 36 - 37.
- [2] 王亮,张宏伟,李霞. 改性硅藻土 生物滤池处理城镇 污水 [J]. 中国给水排水,2005,21(11):89 - 90.

- [3] Al-degs Y. Sometion of lead ions on diatomite and manganese oxides modified diatomite[J]. Water Res, 2001, 35 (15): 3724 - 3728.
- [4] 金伟,赵雅萍,徐祖信,等. 硅藻土复合生物反应器处 理生活污水 [J]. 同济大学学报 (自然科学版), 2005, 33 (12): 1626 - 1629.
- [5] 国家环境保护总局. 水和废水监测分析方法 (第 4版) [M]. 北京:中国环境科学出版社,2002
- [6] 曹达文,金伟,赵雅萍,等. 改性硅藻土滤池处理技术 研究报告 [R]. 上海:同济大学, 2005.
- [7] 杨青,刘遂庆,甘树应. 污水生物除磷模型研究进展 [J]. 中国给水排水,2004,20(3):21 - 25.

电话: (021) 56383478

E - mail: xjuing@163. com

通讯地址: 200072 上海市延长路 149号上海大学环化

楼 406室

收稿日期: 2007 - 04 - 23

· 54 ·